

가 실제보다 낮게 결정이 되어 치료가 불완전하게 되는 위험이 있다.¹⁶ 이를 보완하기 위해 최근에 림프절의 미세전이 유무에 대한 검사가 면역조직화학적 방법과 분자생물학적 방법을 포함한 여러 기법을 통해 이루어지고 있다.¹⁷⁻²³ Cytokeratin에 대한 항체를 이용한 면역조직화학적 검사는 림프절의 미세전이를 파악하는 데 예민도와 특이도가 우수한 방법으로 알려져 있으며,^{18,20,21} 분자생물학적 분석법에 비하여 용이하게 임상에서 이용될 수 있다.

미세전이의 임상적 의의는 이 인자가 종양의 재발이나 생존율과 상관관계를 가지는 위험인자로 분류되어야 하는가하는 점으로서, 이를 토대로 수술 보조요법의 적응 범위의 확장 여부를 결정할 수 있을 것이다. 그러나 현재까지 대장암에서 미세전이와 예후와의 상관관계는 뚜렷한 결론을 내리지 못하고 있다.

저자는 수술 Dukes' B로 진단된 대장암 환자를 대상으로 면역조직화학적 염색을 통한 림프절의 미세전이의 빈도를 알아보고 미세전이와 예후와의 상관관계를 규명함으로써 결장직장암 환자에서 미세전이의 유무에 따라 보조요법의 사용을 결정할 수 있는지, 또는 통상의 H-E 염색을 근거로 결정된 병기를 보완할 수 있는지를 알아보고자 연구를 시행하였다.

방 법

1) 연구 대상

1992년에서 1995년까지 대장암으로 진단되어 동아대학교병원 일반외과에서 근치적 절제술이 시행된 환자 중 수술 병리조직 검사상 Dukes' B로 확진된 환자를 대상으로 하였다. 이 중 술전 화학요법 또는 방사선 요법이 시행된 환자와 신체의 타부위에 악성종양이 동반되었던 환자 혹은 수술 대장암과는 무관한 원인으로 사망하였던 경우 그리고 추적조사에서 소실된 환자는 대상에서 제외되었다.

위의 요건이 포함된 환자를 제외하고 최종적으로 연구대상에 포함된 환자는 모두 65명이었다.

2) 연구 방법

(1) 임상 및 병리학적 분석: 환자의 임상 기록지와 병리 조직 검사 결과지로부터 환자의 나이, 성별, 종양의 발생 부위, 종양의 크기, 장벽의 침습 정도, 조직학적 분화도, 림프관 및 혈관의 침습 유무, 술전 혈중 CEA치 등을 조사하였다. 원격전이, 재발 및 사망에 대한 추적조사는 병록지, 전화 추적을 이용하였다.

대상환자 65예 병리조직표본은 병리 의사에 의해 재검사되었으며, 혈관 및 림프관의 침습 여부를 다시 조사하였다. 조직학적 분화도는 세계보건기구의 기준에 의해,²⁴ 그리고 종양의 장벽 침투 정도(T 병기)는 미국 암위원회(American Joint Committee on Cancer) 기준에 의해 기록되었다.²⁵

(2) 면역조직학적 염색 방법: paraffin 포매조직을 4 μm 두께로 잘라 슬라이드에 부착시키고 실렌에서 paraffin을 제거한 후 일련의 알코올을 거쳐 함수시켰다. 종양 조직 내 항원 단백을 회복하기 위하여 전처치 과정으로 표본을 pepsin 용액에 담근 후 phosphate-buffered saline (PBS) 완충액으로 세척하였다. 다음으로 내인성 peroxidase의 활성을 억제하기 위하여 3% H₂O₂에 10분간 반응시켰으며, 비특이적 항체 결합을 억제하기 위해 표본을 non-immune serum에 실온에서 20분간 반응시킨 후 TBS 완충액으로 20분간 세척하였다. 일차 항체인 monoclonal anti-human cytokeratin (Dako-CK MNF 116, Dako, USA)에 실온에서 한시간 반응시킨 후 TBS 완충액으로 10분간 세척하였다. 표본을 다시 이차 항체인 biotinylated polyvalent antibody (Histostain-plus, Zymed, South San Francisco, CA, USA)와 10분간 반응시킨 다음 TBS 완충액으로 세척한 후 HRP-streptavidine으로 10분간 반응시켰다. 다시 표본을 PBS 완충액으로 세척하고 AEC 발색시약으로 10분간 염색한 후 물로 세척하였다. Hematoxylin으로 3분간 대조 염색을 한 후 물로 씻고 crystal mount로 봉입하여 현미경으로 검경하였다.

광학현미경으로 림프절내에 세포질이 적갈색으로 염색되는 세포가 나타나면(Fig. 1) 고배율에서 종양세

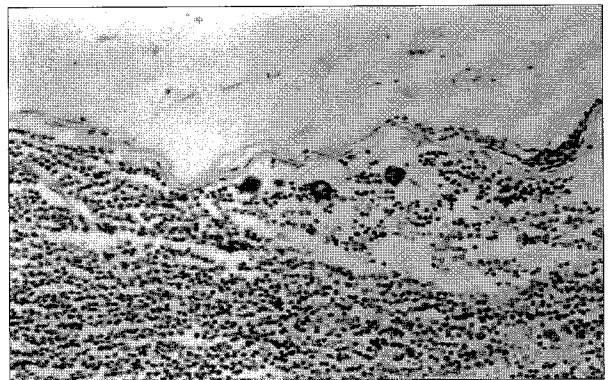


Fig. 1. Immunohistochemical status of cytokeratin. A few cytokeratin-positive tumor cells are seen in subcapsular sinus of the lymph node (Immunohistochemical stain for cytokeratin, ×200).

포인지를 확인하여 양성 림프절의 개수를 헤아렸다.

(3) **통계학적 분석:** 미세전이의 유무와 임상 및 병리학적인 인자 사이의 관계는 두 척도간의 환자 수의 분포별 분석에서는 Fisher's exact test (two-sided)를 그리고 셋 이상 척도간에서의 환자의 분포별 분석에서는 chi-squared test를 이용하여 유의성을 검증하였으며, 두 척도간의 평균값의 비교는 unpaired t-test를 이용하여 검증하였다. 생존곡선은 Kaplan-Meier법을 이용하여 계산하여 log rank test로써 분석하였다. 통계 처리는 GraphPad InStat 3.00을 이용하여 시행되었으며 P값이 0.05 이하인 경우를 통계학적 유의성이 있는 것으로 간주하였다.

결 과

1) 임상 및 병리학적인 분석

총 65예의 대상 환자 중 남자는 29예(44.6%) 여자는 36예(55.4%)로서, 평균연령은 59세(범위: 37~79세)였다. 종양의 발생부위별 분포는 결장이 41예(63.1%) 그리고 직장이 22예(33.8%)이었으며, 나머지 2예(3.1%)는 동시성 암으로 에스상결장과 맹장이 1예 그리고 하행결장과 맹장이 1예였다. 장벽의 침투 정도는 AJCC의 분류상 T2가 9예(13.8%) 그리고 T3가 56예(86.2%)이었으며, 종양세포의 분화도는 고분화형이 47예(72.3%), 중등도 분화형 9예(13.8%) 그리고 저분화 및 점액성 종양이 각각 4예(6.2%) 및 5예(7.7%)였다(Table 1).

2) 미세전이의 양상과 빈도

전체 65예 환자의 절제 조직에서 면역조직화학적 염색으로 검색한 림프절 수는 모두 1,160개로서 한 환자에서 평균 17.8개를 검색하였다(Fig. 2). 미세전이는 20예(30.8%)에서 37개(3.2%)의 림프절에서 관찰되었다. 미세전이 양성 환자에서 양성림프절 수는 53개 중 한 개(1.9%)에서 13개 중 5개(38.5%)까지였다(Table 2, 3).

3) 미세전이와 임상 및 병리학적인 인자와의 관계

미세전이의 유무에 따라 환자를 미세전이 양성군과 음성군의 두 군으로 나누어 이들 두 군간에서 여러 임상 및 병리학적인 인자들의 크기 및 분포의 차이가 통계학적 유의성이 있는지를 분석하였다. 미세전이 음성군의 평균연령은 60세(범위: 37~79), 양성군은 58세(범위: 37~70)로서 두 군간에 유의한 차이는

없었다($P > 0.05$). 성별 분포도 두 군간에 유의한 차이는 없었으며($P > 0.05$), 병리학적인 인자들로서 종양의 크기, 조직학적 분화도, 장벽의 침습 정도, 림프관 및 혈관 침습 유무의 빈도를 두 군에서 비교하였는데 림프절 미세전이 양성군과 음성군의 사이에 유의한 차이를 관찰할 수 없었다($P > 0.05$). 술전 검사한 혈청 CEA치도 두 군간에는 차이가 없었다($P > 0.05$). 환자의 추적조사에서 재발률도 두 군간에 유의한 차이는 없었다($P > 0.05$)(Table 4).

Table 1. Clinical and pathologic feature of 65 Dukes' B colorectal carcinoma

Feature	No. of cases (%)
Sex	
Male	29 (44.6)
Female	36 (55.4)
Mean age (range, years)	59 (37~79)
Tumor	
Colon	41 (63.1)
Rectum	22 (33.8)
Synchronous	2 (3.1)
pT stage	
T2	9 (13.8)
T3	56 (86.2)
Histologic grade	
Well	47 (72.3)
Moderate	9 (13.8)
Poor	4 (6.2)
Mucinous	5 (7.7)
Total	65 (100)

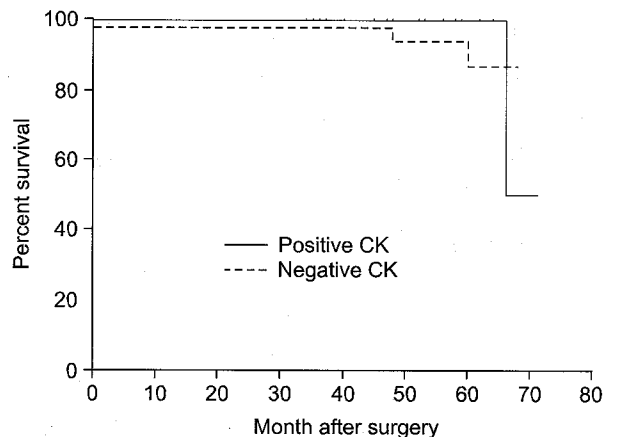


Fig. 2. Survival curve of patients with positive and negative micrometastasis.

Table 2. Comparison of clinicopathologic variables between micrometastases; positive and negative Dukes' B colorectal carcinomas

Variables	Micrometastasis		P value
	Negative	Positive	
Mean age (range, yr)	60 (37 79)	58 (37 70)	0.46
Sex			
Male	20	9	1.00
Female	25	11	
Tumor site			
Colon	30	11	0.27
Rectum	13	9	
Synchronous	2		
Tumor size (range, cm)	6.1 (1 11)	5.4 (1.5 10)	0.28
Histologic grade			
Well	29	8	0.14
Moderately	7	2	
Poor	4		
Mucinous	5		
pT category			
T2	7	2	0.71
T3	38	18	
Vessel invasion			
Positive	9	5	0.66
Negative	36	15	
Lymph node invasion			
Positive	7	2	0.71
Negative	38	18	
Preoperative CEA (ng/ml)			
< 5	33	15	1.00
5	12	5	
Recurrence			
Positive	1	0	1.00
Negative	44	20	
Total	45	20	

Table 3. Number of total lymph nodes investigated in each patient

Total No. of lymph nodes	No. of cases (%)
1 10	17 (26.2)
11 20	29 (44.6)
21 30	11 (16.9)
31 40	3 (4.6)
41 50	4 (6.2)
> 50	1 (1.5)
Total	65 (100)

Table 4. Number of positive lymph nodes in each micrometastasis positive patients

No. of positive lymph nodes	No. of cases (%)
1	11 (55.0)
2	5 (25.0)
3	2 (10.0)
4	0 (0.0)
5	2 (10.0)
Total	20 (100)

4)

Kaplan-Meier
5 100% 86%, 가
(P > 0.05)(Fig. 2).

, 가 가
가
Dukes' A B 5 70 80%
가 Dukes' C
30 40%
26,27
(pN) (12)
가
26,27
" " 2 mm
H-E
28

가 가 가

(reverse transcriptase-polymerase chain reaction; RT-PCR) . Hayashi ²² (mutant-allele-specific amplification; MASA)

cytokeratin Davidson ³² CEA EMA

가 가 H-E

60%

Dukes' B

가

(heterogeneity) cytokeratin

26 39%

4 17%

^{17,19,20,33,34}

H-E cytokeratin

가 가

가

30.8%

Dukes' A B

38%

3.2%

가

H-E

가

가

moto ²⁹

PCR

Yama-

Greenon ²⁰ cytokeratin

DNA가

가

Sasaki ³⁵ Dukes' A B

38%

RNA

13%

cytokeratin

thiocyanate

guanidine iso-

가

clearance technique, radioimmunoguided surgery (RIGS)

Davidson ³² Berg ³³ Adell ³⁴ Nakanishi ³⁶ , Broll ¹⁵ Cutait ¹⁷ Jeffers ¹⁹

. Cawthorn ³⁰

가

xylene alcohol clearance technique

^{21,37}

가

Dukes' C

가

가

. RIGS

TAG-72

¹²⁵I-radiolabeled CC49

가

3

gamma-detecting probe

가

RIGS , H-E

가

가

RIGS , H-E

가

³¹

³⁸

(carcinoembryonic antigen; CEA), (epithelial membrane antigen; EMA)

65 Dukes' B

cytokeratin
 20 (30.8%) 1160 37
 (3.2%) cytokeratin 가
 가 5
 H-E
 가

REFERENCES

1. Landis SH, Murray T, Bolden S, Wingo PA. Cancer statistics, 1998. *CA Cancer J Clin* 1998;48:6-29.
2. 1997
3. Dukes CE. The classification of cancer of the rectum. *J Pathol* 1932;35:323-32.
4. Chapuis PH, Dent OF, Fisher R, et al. A multivariate analysis of clinical and pathological variables in prognosis after resection of large bowel cancer. *Br J Surg* 1985;72:698-702.
5. Phillips RKS, Hittinger R, Blesovsky L, Fry JS, Fielding LP. Large bowel cancer: surgical pathology and its relationship to survival. *Br J Surg* 1984;71:604-10.
6. Talbot IC, Ritchie S, Leighton MH, Hughes AO, Bussey HJ, Morson BC. The clinical significance of invasion of veins by rectal cancer. *Br J Surg* 1980;67:439-42.
7. Choi HJ, Jung IK, Kim SS, Hong SH. Proliferating cell nuclear antigen expression and its relationship to malignancy potential in invasive colorectal carcinomas. *Dis Colon Rectum* 1997;40:51-9.
8. Teixeira CR, Tanaka S, Haruma K, Yoshihara M, Sumii K, Kajiyama G. Proliferating cell nuclear antigen expression at the invasive tumor margin predicts malignant potential of colorectal carcinomas. *Cancer* 1994;73:575-9.
9. Quirke P, Dixon MF, Clayden AD, et al. Prognostic significance of DNA aneuploidy and cell proliferation in rectal adenocarcinomas. *J Pathol* 1987;151:285-91.
10. Kokal W, Sheibani K, Terz J, Harada JR. Tumor DNA content in the prognosis of colorectal carcinoma. *JAMA* 1986;255:3123-7.
11. Choi HJ, Hyun MS, Jung GJ, Kim SS, Hong SH. Tumor angiogenesis as a prognostic predictor in colorectal carcinoma with special reference to mode of metastasis and recurrence. *Oncology* 1998;55:575-81.
12. Mooteri S, Rubin D, Leurgans S, Jakate S, Drab E, Saclarides T. Tumor angiogenesis in primary and metastatic colorectal cancers. *Dis Colon Rectum* 1996;39:1073-80.
13. Takebayashi Y, Aklyama S, Yamada K, Akiba S, Aikou T. Angiogenesis as an unfavorable prognostic factor in human colorectal carcinoma. *Cancer* 1996;78:226-31.
14. Newland RC, Chapuis PH, Pheils MT, MacPherson JG. The relationship of survival to staging and grading of colorectal carcinoma: a prospective study of 503 cases. *Cancer* 1981;47:1424-9.
15. Broll R, Schauer V, Schimmelpenning H, et al. Prognostic relevance of occult tumor cells in lymph nodes of colorectal carcinomas: an immunohistochemical study. *Dis Colon Rectum* 1997;40:1465-71.
16. Waldman SA, Cagir B, Rakinic J, et al. Use of guanylyl cyclase C for detecting micrometastases in lymph nodes of patients with colon cancer. *Dis Colon Rectum* 1998;41:310-5.
17. Cutait R, Alves VAF, Lopes LC, et al. Restaging of colorectal cancer based on the identification of lymph node micrometastases through immunoperoxidase staining of CEA and cytokeratins. *Dis Colon Rectum* 1991;34:917-20.
18. Haboubi NY, Clark P, Kaftan SM, et al. The importance of combining xylene clearance and immunohistochemistry in the accurate staging of colorectal carcinoma. *J R Soc Med* 1992;85:386-8.
19. Jeffers MD, O'Dowd GM, Mulcahy H, et al. The prognostic significance of immunohistochemically detected lymph node micrometastases in colorectal carcinoma. *J Pathol* 1994;172:183-7.
20. Greenson JK, Isenhardt CE, Rice R, Mojzisek C, Houchens D, Martin EW Jr. Identification of occult micrometastases in pericolic lymph nodes of Duke's B colorectal cancer patients using monoclonal antibodies against cytokeratin and CC49. Correlation with long-term survival. *Cancer* 1994;73:563-9.
21. McGuckin MA, Cummings MC, Walsh MD, Hohn BG, Bennett IC, Wright RG. Occult axillary node metastases in breast cancer: their detection and prognostic significance. *Br J Cancer* 1996;73:88-95.
22. Hayashi N, Ito I, Yanagisawa A, et al. Genetic diagnosis of lymph-node metastasis in colorectal cancer. *Lancet* 1995;345:1257-9.
23. Mori M, Mimori K, Inoue H, et al. Detection of cancer micrometastases in lymph nodes by reverse transcriptase-polymerase chain reaction. *Cancer Res* 1995;55:3417-20.
24. Jass JR, Sobin LH. Histologic typing of intestinal tumors. WHO international histological classification of tumors. 2nd ed. Berlin: Springer, 1989.

25. Fleming ID, Cooper JS, Henson DE, Hutter RVP, Kennedy BJ, Murphy GP, Sullivan BO, Sobin LH, Yarbrow JW, eds. *AJCC Cancer staging manual*. 5th ed. Philadelphia: Lippincott Williams & Wilkins, 1997.
 26. Hermanek P. pTNM and residual tumor classifications: problems of assessment and prognostic significance. *World J Surg* 1995;19:184-90.
 27. Hermanek P, Sobin LH. Colorectal carcinoma. In: Hermanek P, Gospodarowicz MK, Henson DE, Hutter RV, Sobin LH, eds. *Prognostic factors in cancer*. Berlin: Springer, 1995.
 28. Huvos AG, Hutter RV, Berg JW. Significance of axillary macrometastases and micrometastases in mammary cancer. *Ann Surg* 1971;173:44-6.
 29. Yamamoto N, Kato Y, Yanagisawa A, Ohta H, Takahashi T, Kitagawa T. Predictive value of genetic diagnosis for cancer micrometastasis: histologic and experimental appraisal. *Cancer* 1997;80:1393-8.
 30. Cawthorn SJ, Gibbs NM, Marks CG. Clearance technique for the detection of lymph nodes in colorectal cancer. *Br J Surg* 1986;73:58-60.
 31. Cote RJ, Houchens DP, Hitchcock CL, et al. Intraoperative detection of occult colon cancer micrometastases using ¹²⁵I-radiolabeled monoclonal antibody CC49. *Cancer* 1996;77:613-20.
 32. Davidson BR, Sams VR, Styles J, Deane C, Boulos PB. Detection of occult nodal metastases in patients with colorectal carcinoma. *Cancer* 1990;65:967-70.
 33. Berg A, Stenling R, Tavelin B, Lindmark G. Are lymph node micrometastases of any clinical significance in Dukes stages A and B colorectal cancer? *Dis Colon Rectum* 1998;41:1244-9.
 34. Adell G, Boeryd B, Frnlund B, Sjodahl R, Hansson L. Occurrence and prognostic importance of micrometastases in regional lymph nodes in Dukes' B colorectal carcinoma: an immunohistochemical study. *Eur J Surg* 1996;162:637-42.
 35. Sasaki M, Watanabe H, Jass JR, et al. Occult lymph node metastases detected by cytokeratin immunohistochemistry predict recurrence in "node-negative" colorectal cancer. *J Gastroenterol* 1997;32:758-64.
 36. Nakanishi Y, Ochiai A, Yamauchi Y, Moriya Y, Yoshimura K, Hirohashi S. Clinical implications of lymph node micrometastases in patients with colorectal cancers. A case control study. *Oncology* 1999;57:276-80.
 37. Galea MH, Athanassiou E, Bell J, et al. Occult regional lymph node metastases from breast carcinoma: immunohistological detection with antibodies CAM 5.2 and NCRC-II. *J Pathol* 1991;165:221-7.
 38. Schlimok G, Funke I, Bock B, Schweiberer B, Witte J, Riethmuller G. Epithelial tumor cells in bone marrow of patients with colorectal cancer: immunocytochemical detection, phenotypic characterization, and prognostic significance. *J Clin Oncol* 1990;8:831-7.
-